

回転曝触体における混合特性と酸素移動について

北海道大学 工学部

正会員 神山 桂一
 学生員 加藤 善盛
 学生員 ○鶴谷 隆雄

1.はじめに

回転曝触体を使った生物処理法は、建設コストが低く、維持管理も簡便、その適用範囲も高負荷から高濃度処理まで広く、汎用性がある。このような多くの利点を生かし、欧米では数十年来、研究され、実用化されてきた。しかし、その装置特性や浄化メカニズムの基礎的解析は非常に少なく、ほとんど経験的判断によってきた。固定床生物酸化法は一般に物質の拡散速度が律速因子になるとと思われ、著者らは、装置特性として、槽内の混合状態と大気中からの酸素の移動特性について実験的考察を行ったので報告する。

2. 実験装置及び方法

実験装置は Fig. 1, Fig. 2 に示すように、直径 36cm, 幅 0.5cm の耐水ベニヤ板を表 1 に示すように等間隔に穴を開けたものを使用した。Fig. 2 は、No.1 の平面図である。槽は V = 14l の半円形槽で縦 30cm, 横 40cm である。まず、混合特性の実験では、No.2 槽に、NaCl 溶液を入れ、電気伝導度を約 30mS/cm に調整して、約 0.1m³/cm の水道水を毎分 0.1, 0.2, 0.3, 0.4l の一定流量で注入し、各回転速度において、一定時間隔で電気伝導度を測定した。総括酸素移動係数 (kLa) は、N₂ガスによって脱 O₂後、EIR 社の DO-Meter で連続記録で測定した。

3. 結果及び考察

i) 混合特性について。まず大さな槽内流れを見るために、活性汚泥フロックを浮遊させ測定してみた。Fig. 3 に回転方向と流れの方向の概略を示した。表面近くの極薄い部分で中間層と逆の流れが起きており、この流速は回転数 10 rpm まで中間層の約 3 倍の速さであった。中間層の流れが最も卓越しており、そのなかでも上部が速く、下部にいくほど遅い。この部分の流速を表-2 に示す。なお 10 rpm 以上になると表面近くの流れが渦流となる。次に滞留分布を指標として混合特性をみるとことにする。トレーサー法により、I 曲線を実験装置 No.1 について、各流入量毎に回転数を変えて測定した。理想完全混合の場合、

$$I = e^{-\theta} \quad \text{ここで } I = \frac{(C_i - C)}{(C_i - C_0)}$$

$\theta = \frac{t}{\tau}$ も；流入濃度 C_i ; $t=0$ の時の初期濃度、 τ ；平均滞留時間で表される。 $\theta = 1$ のとき $(C_i - C)/(C_i - C_0) = 0.366$ となるが、実験装置の場合のこの時の θ を θ_a と 1 各回転数毎に Fig. 4 に示した。 θ_a は流入量による差はごくわずかである。回転数が大きく支配されているといふよう。Fig. 4 は、実験において、定常運動状態で瞬間に水道水を流入させることができなかったので正確な C_0 は使用できず、10 分以後の傾斜から求めたものである。ところで、完全混合の場合においては、Step 変化の開始点をどの時点にとっても $\theta = 1$ となり、 $\theta > 1$ の場合、短絡流があるとみなされる。したがって θ_a が短絡流の大きさを表していると考えられるが、上述した流れの概略から、10 rpm 未満の

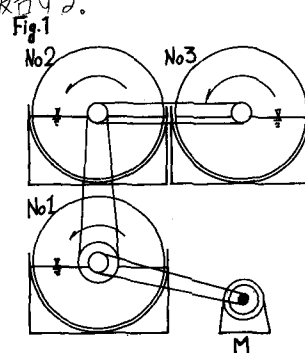


表-1		
No.	1	2
横幅	15	11
内板間隔	14	20
幅 cm	3.86	4.0
A	1.20	0.82
単位容積当りの 表面積 (m²/m³)	0.45	0.45

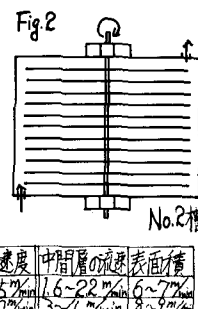
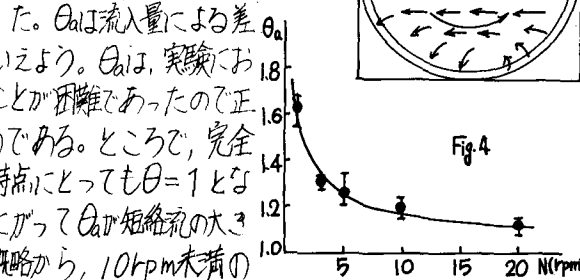
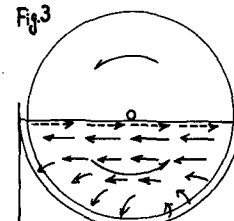


表-2		
N 回転速度	中間層の流速	表面積
5	2.55 m/min	1.6~2.2 m²/min 6~7%
10	5.10 m/min	3~4 m/min 8~9%
20	10.2 m/min	6~7 m/min 16%
30	15.3 m/min	8.2~11 m/min 24%



回転数で中間層の流速の3倍ほどの速い表面の薄層流が存在していることから、短絡流が予想され、10 rpm以上では、漏れが生じ、この短絡流が少くなると思われる。一例を Fig-5 (流入水量2000 ml/min, N=5 rpm) で示す。

iii 酸素移動について

表-3は、各槽別に K_{La} と回転数の関係を表したものである。

槽 NO	A/V (cm/cm³)	回転数 (rpm)				
		5	10	15	20	25
1	1.12	5.7	7.4	10.5	14.2	18.1
2	0.82	2.6	5.0	6.9	10.3	13.1
3	0.45	2.3	3.1	3.9	5.5	7.1

回転接触槽における K_{La} は、回

転体の付着水膜を通しての酸素移動係数 (sK_{La}) と、槽内水表面への酸素移動 (lK_{La}) の和と考えられる。

$$K_{La} = sK_{La} + lK_{La}$$

常識的に考えると $sK_{La} > lK_{La}$ という関係が予想される。ところで表-3と Fig-6 と比べたところ、 $K_{La} \approx sK_{La}$ と思われるが、今、 sK_{La} と lK_{La} の分離を試みた。

Dlip. S. Mehta は、垂直に立てられた壁面を液が滴下する際、fick の第2法則より導きられた理論式を簡素化した、次式で示している。¹⁾

$$\frac{C_A - C}{C_A} = 1 - 0.7857 \exp(-5.12M) - 0.1001 \exp(-39.21M) \\ - 0.0360 \exp(-105.6M) \quad (\text{ただし, } M = D_L t_e / f^2)$$

\bar{C}_A : 水膜における平均 O_2 濃度, C : 空気中 O_2 濃度 t_e : 滞空時間 D_L : 水膜を通しての O_2 の分子拡散係数)

上式を使って、 \bar{C}_A と回転数の関係を求め、表-4 に示した。これより、回転数 7 rpm (周辺速度 8.5 sec) まで、すなわち水膜厚 4.5 μm で回転体が空中に曝露している時間内に、飽和に達しているとみなされる。

また、回転数が増加すると円板付着水から供給される酸素量が小さくなるであろうことが引き出せる。そこで fick の第二法則より導きられる浸透理論を使って、 sK_{La} の算出を試みる。上記理論によれば、非定常拡散の液膜係数 (K_L) は次式で表わせらる。²⁾

$$K_L = 2\sqrt{D_L/\pi} \cdot t_e$$

この係数をつかって、容量係数は $sK_{La} = \frac{1}{V} K_L$ で示されるから、総移動係数 (K_{La}) に占める割合と回転数の関係を図示すると Fig-8 の如くなる。これから、回転数の増加とともに sK_{La} は、相対的に減少し、槽内水表面からの酸素吸収の割合が大きくなっていると考えられるがこうに検討を必要とすると思われる。

4.まとめ

装置内の混合状態、および酸素移動の面から装置特性の検討を行った結果以上のよう知見が得られたが、今後混合時間の測定、流れの定量的把握及び種々の注入方法による物質移動速度の影響及びスケールアップなどについて検討をかねて行きたいと思う。

5 参考文献

- 1) Dip. S. Mehta et al. "Oxygen Theory in Biological Treatment Plant Design" ASCE, Eng. Div. 1978, p. 23
- 2) 合葉修, A.F. ハマー, N.F. バック 生物化学工学 東京大学出版会 1971. pp42

Fig-5

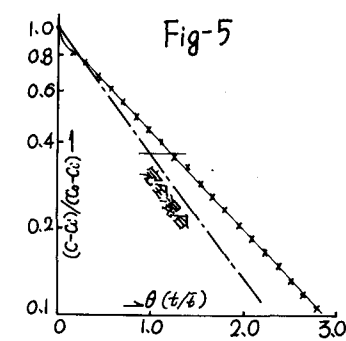


Fig-6

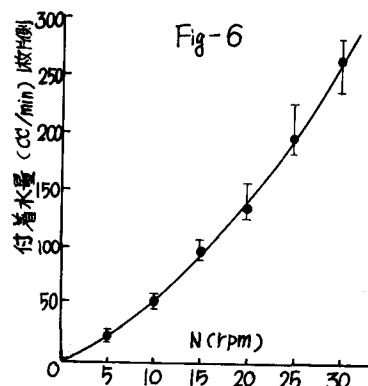


Fig-7

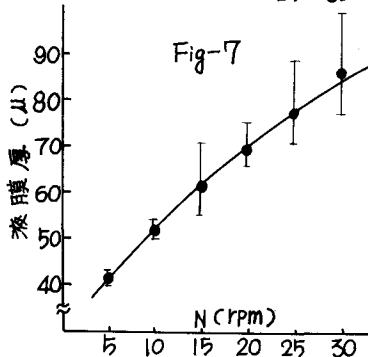


表-4

N (rpm)	\bar{C}_A/C_A^*	N (rpm)	\bar{C}_A/C_A^*
5	1.000	20	0.602
10	0.973	25	0.573
15	0.848	30	0.473

Fig-8

